



北京航空航天大学  
B E I H A N G U N I V E R S I T Y

# 计算机控制系统大作业

院(系)名称

高等理工学院

学 号

16231235

姓 名

李谨杰

指 导 教 师

周锐

2019 年 05 月

## 综合习题一

已知：  $D(s) = \frac{3}{s+3}$

1) 试用 Z 变换、一阶向后差分、向前差分、零极点匹配、Tustin 变换和预修正的 Tustin (设关键频率=3) 变换等方法将 D(s) 离散化, 采样周期分别取为 0.05s 和 0.3s;

- Z 变换法: 查表  $Z[\frac{1}{s+a}] = \frac{z}{z-e^{-aT}}$ , 代入  $a=3$ , T, 增益乘 3 即可。之后要配增益, 由于采样的原因, 连续域和离散域的频率响应有关系  $H_D(e^{j\Omega}) = \frac{1}{T} \sum_{n=-\infty}^{\infty} H_A(j\frac{\Omega-2\pi n}{T})$ , 故需要对数字响应乘上比例因子 T, 这样才能使得脉冲响应的值相等。
- 一阶向后差分法: 令  $s = \frac{1-z^{-1}}{T}$ , 代入 D(s) 即可。
- 一阶向前差分法: 令  $s = \frac{1-z^{-1}}{Tz^{-1}}$ , 代入 D(s) 即可。
- 零极点匹配法: s 域有极点 -3,  $z = e^{sT}$ ; 同时 D(s) 分子阶次小于分母阶次 1 次, 故 D(z) 分子上应配 (z+1) 因子; 增益按照  $D(s)|_{s=0} = D(z)|_{z=1}$  配置。按此规则计算的 D(z) 填在表格中。
- Tustin 变换法: 令  $s = \frac{2}{T} \frac{(1-z^{-1})}{(1+z^{-1})}$ , 代入 D(s) 即可。Matlab 中用 `c2dm(num,den,T,'tustin')`; 指令配置。
- 预修正的 Tustin (设关键频率=3rad/s) 变换: 在  $\omega_l=3\text{rad/s}$  处, 保证幅值和相位均不失真。令  $s = \frac{\omega_l}{\tan(\omega_l T/2)} \frac{z-1}{z+1}$ , 代入 D(s) 即可。

|      | T=0.05s 时的 D (z)  | T=0.3s 时的 D (z)   |
|------|---|---|
| Z 变换 | $\frac{3z}{z-0.8607}, \text{ 配完增益为: }$ $\frac{0.15z}{z-0.8607}$ | $\frac{3z}{z-0.4066} \text{ 配完增益为: }$ $\frac{0.9z}{z-0.4066}$ |

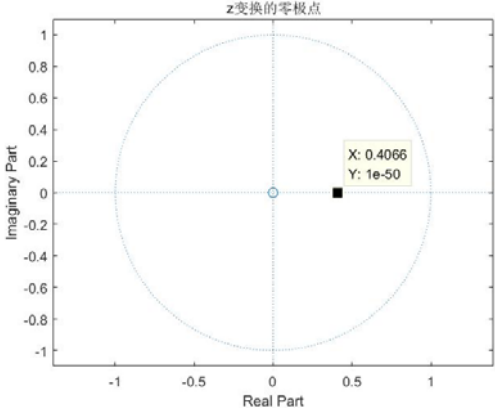
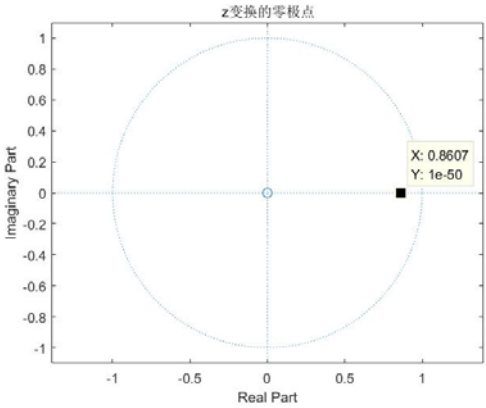
|                            |                                     |                                   |
|----------------------------|-------------------------------------|-----------------------------------|
| 一阶向后差分                     | $\frac{0.1304z}{z-0.8696}$          | $\frac{0.4737z}{z-0.5263}$        |
| 向前差分                       | $\frac{0.15}{z-0.85}$               | $\frac{0.9}{z-0.1}$               |
| 零极点匹配                      | $\frac{0.06965(z+1)}{z-0.8607}$     | $\frac{0.2976(z+1)}{z-0.4066}$    |
| Tustin 变换                  | $\frac{0.06977z+0.06977}{z-0.8605}$ | $\frac{0.3103z+0.3103}{z-0.3793}$ |
| 预修正的 Tustin ( $\omega=3$ ) | $\frac{0.0699z+0.0699}{z-0.8602}$   | $\frac{0.3257z+0.3257}{z-0.3486}$ |

2) 将 D(z) 的零极点标在 Z 平面图上。

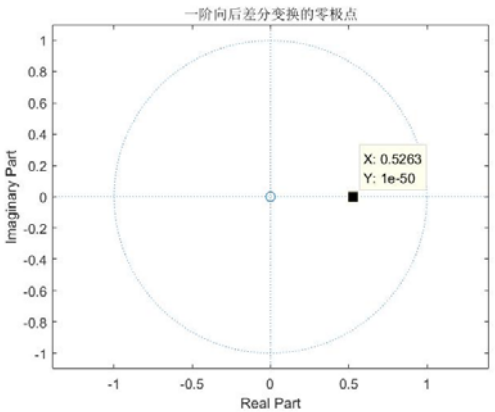
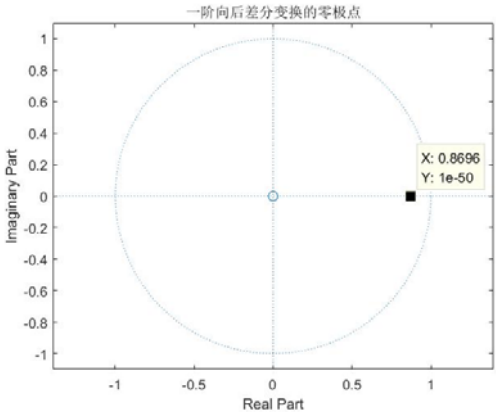
Z 变  
换

T=0.05s

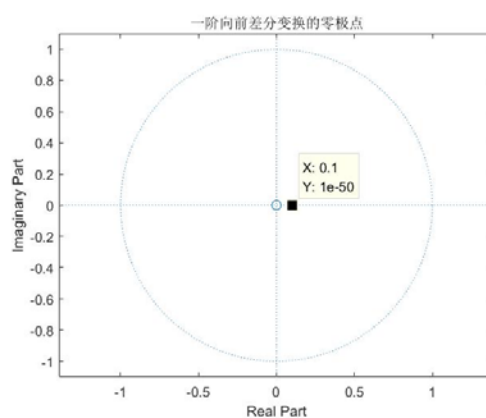
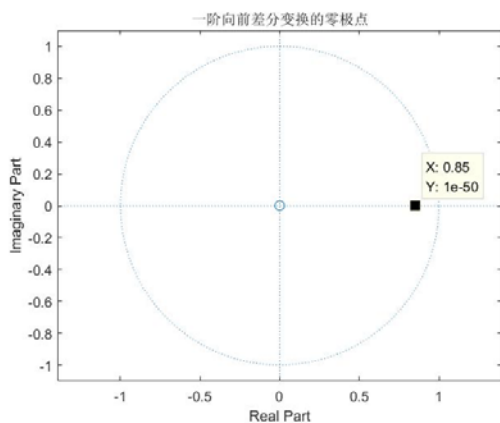
T=0.3s



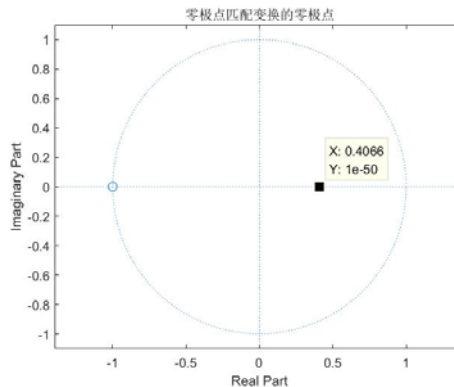
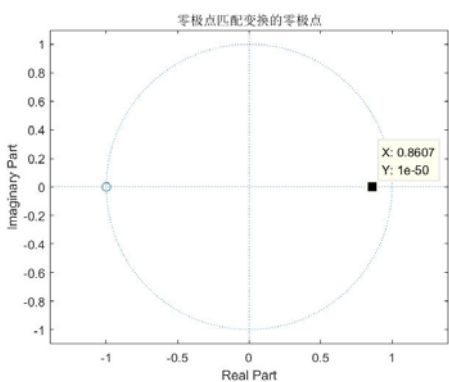
一 阶  
向 后  
差 分



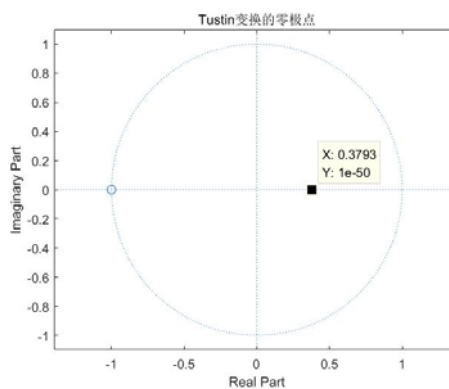
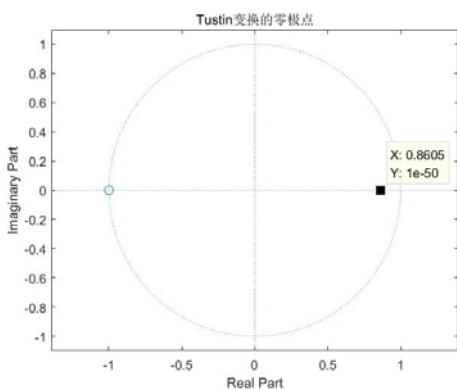
向前  
差分



极点  
匹配



Tustin  
变换



预修正的  
Tustin  
( $\omega = 3$ )

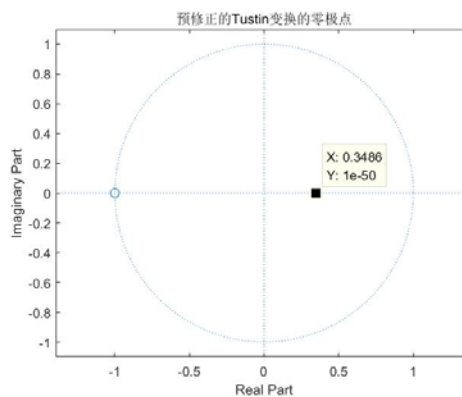
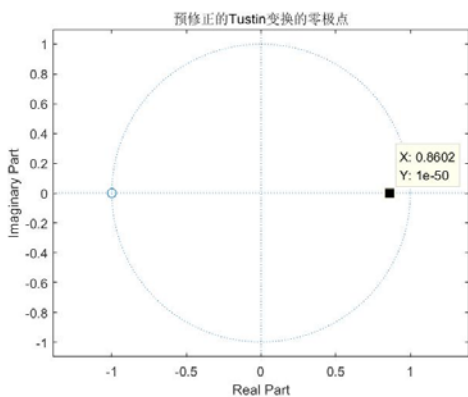


图 1.1 各种变换在 Z 域上的零极点

3) 计算  $D(j\omega)$  和各个  $D(e^{j\omega T})$  的幅频和相频特性并绘图 (等频率轴),  $\omega$  由

0~30 rad, 平均计算 31 个点, 每个 T 绘一张图 (Z 变换方法单画), 共 4 张。

通过 Matlab 指令作图。以 Tustin 变换的指令为例:

```
clear;clc;  
T=0.3;  
w=0:1:30;  
num=3;  
den=[1,3];  
[n5,d5]=c2dm(num,den,T,'tustin');  
Dztus=tf(n5,d5,T);  
[m5,p5]=dbode(n5,d5,T,w);
```

dbode 函数返回的幅值为十进制, 需要用指令  $20*\log_{10}(\text{mag})$  转化为分贝。

T=0.05s ↓

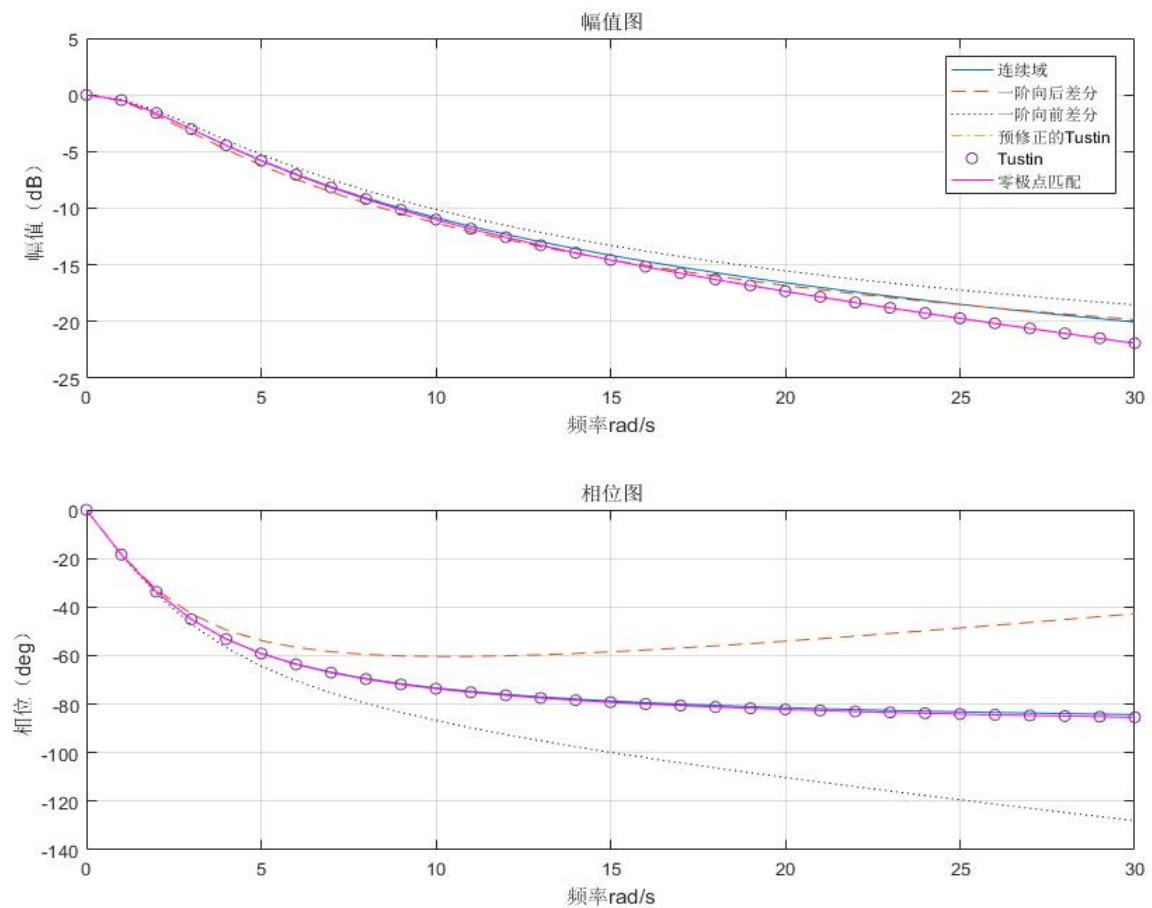


图 1.2 T=0.05s 时不同变换的幅值和相位图

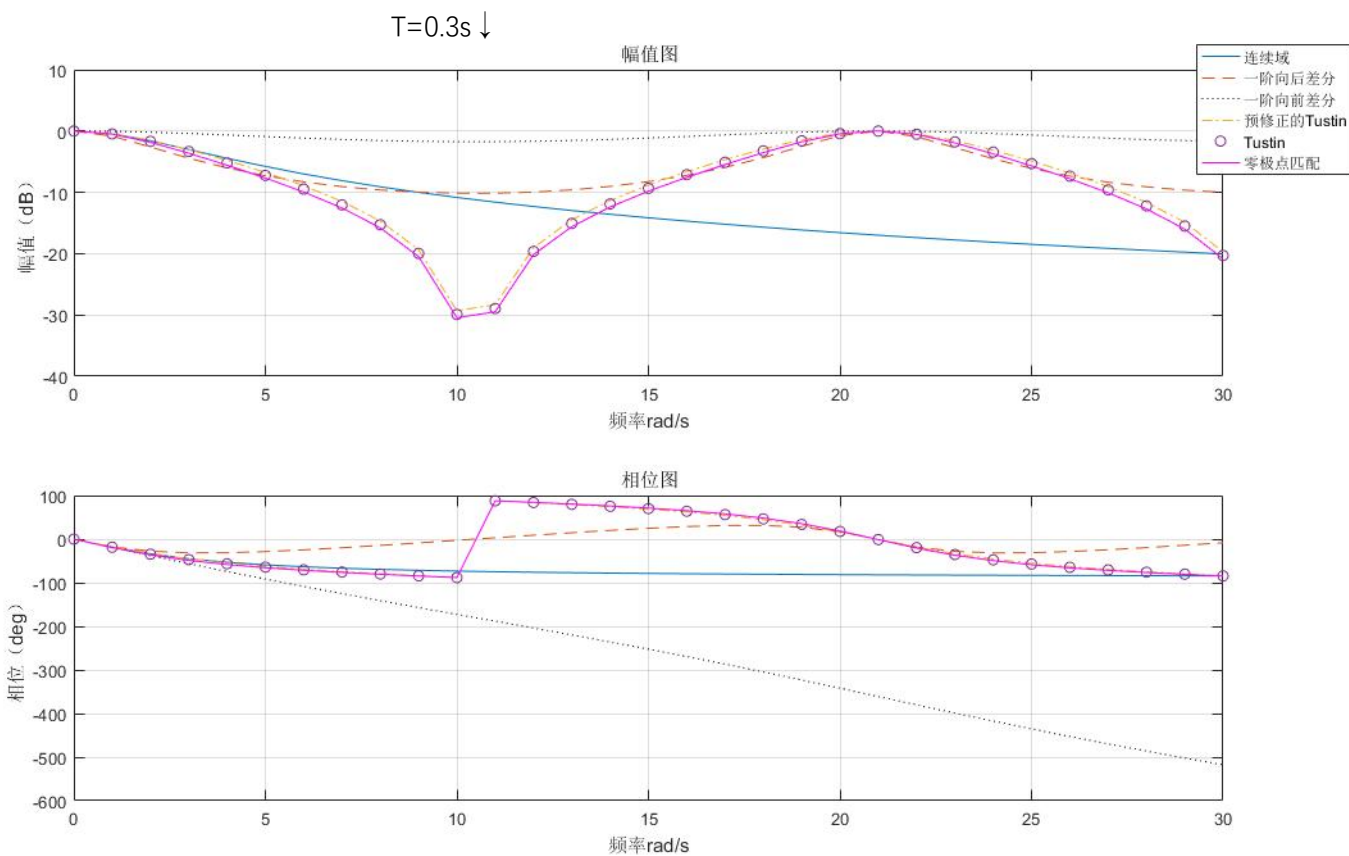
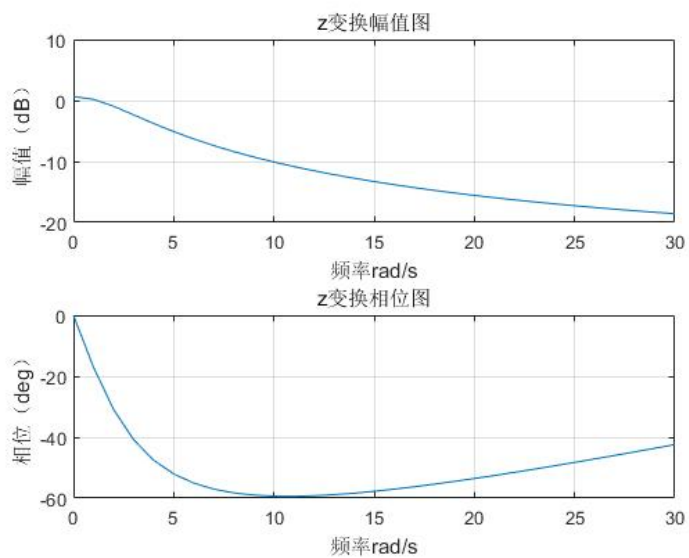


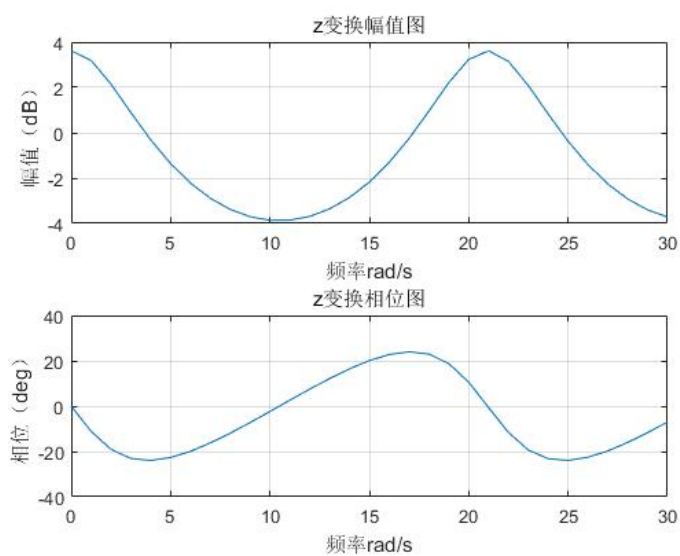
图 1.3  $T=0.3s$  时不同变换的幅值和相位图

Z 变换:

$T=0.05s$



$T=0.3s$



4) 计算  $D(s)$  及  $T=0.05s$  和  $T=0.3s$  时  $D(z)$  的单位脉冲响应, 运行时间为 3

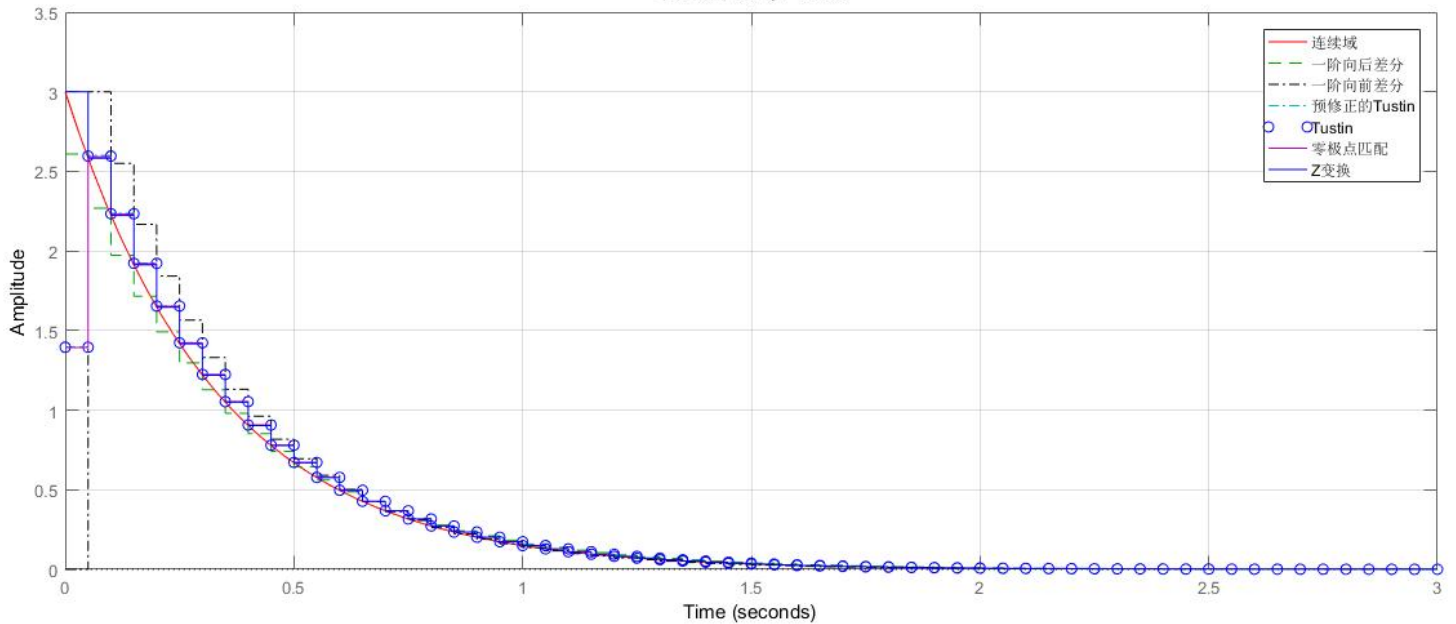
秒。

针对此题,使用 impulse 函数。在已经构建各系统的前提下,部分代码如下:

```
impulse(Gs,'r-',Dzhou,'g--  
' ,Dzqian,'k-.' ,Dzxiu,'c-.' ,Dztus,'bo' ,Dlingjidian,'m' ,3);
```

单位脉冲响应,  $T=0.05s$

单位脉冲响应,  $T=0.05s$



单位脉冲响应,  $T=0.3s$

单位脉冲响应,  $T=0.3s$

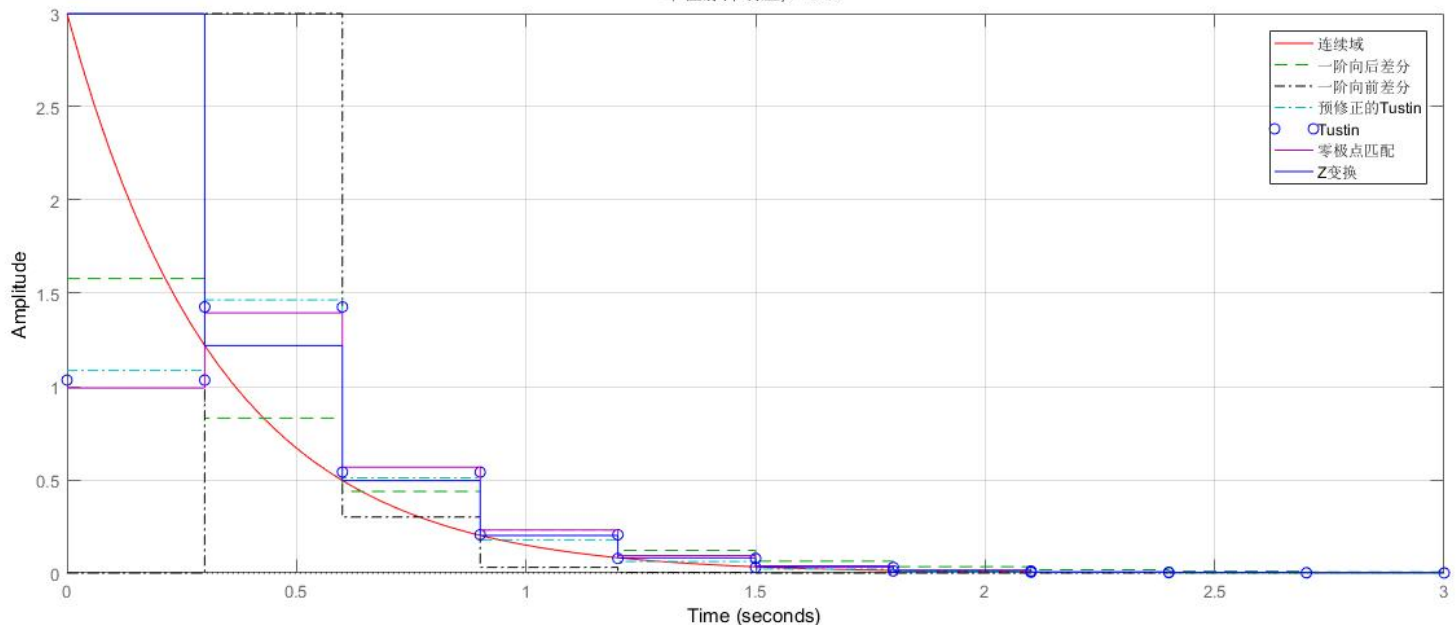


图 1.4 不同变换的单位脉冲响应图

5) 结合所得的结果讨论分析各种离散化方法的特点。

1. 从零极点位置可以看出, 零极点匹配法、Tustin 变换法和预修正的 Tustin

变换法均在 $(-1,0)$ 处引入零点，而  $Z$  变换、一阶向后差分、向前差分法引入的零点在原点。就极点的位置来说， $T$  两种取值状态下系统均稳定。 $T=0.05s$  时，快速性方面，一阶向后差分方法最差，一阶向前差分方法最好（最接近原点），其他差不多，总的来说快速性相差不大； $T=0.3s$  时，向前差分方法快速性最好，极点距原点最近，其他极点位置相差不大，Tustin 变换和预修正的 Tustin 变换的快速性要稍好一些。

2. 从变换前后的幅频和相频特性来看，可以得出以下结论：

(1) 当采样时间较小时，幅值方面不论哪种离散化方法都有很好的结果，与原系统相差不大；相位方面，预修正的 Tustin 变换和一阶向前变换有一定的误差，其他变换几乎没有误差。

(2) 当采样时间较大时，幅值方面， $Z$  变换法（脉冲响应不变法）出现频谱混叠现象，导致在频率等于  $22\text{rad/s}$  左右的地方出现第二个峰值。Tustin 变换、预修正的 Tustin 变换和零极点匹配法有相似的幅频特性，频率大于  $5\text{rad/s}$  后失真严重，出现了频率畸变现象，因此适用于低通环节。一阶向后差分变换的效果最好，在  $10\text{rad/s}$  以后才有失真。一阶向前差分失真最严重，整个频率图中幅值在  $0\text{dB}$  左右徘徊。同时由下图可以观察到与 Tustin 变换相比，预修正的 Tustin 变换在  $\omega=3\text{rad/s}$  时的幅频和相频均没有失真，与设计初衷相符。

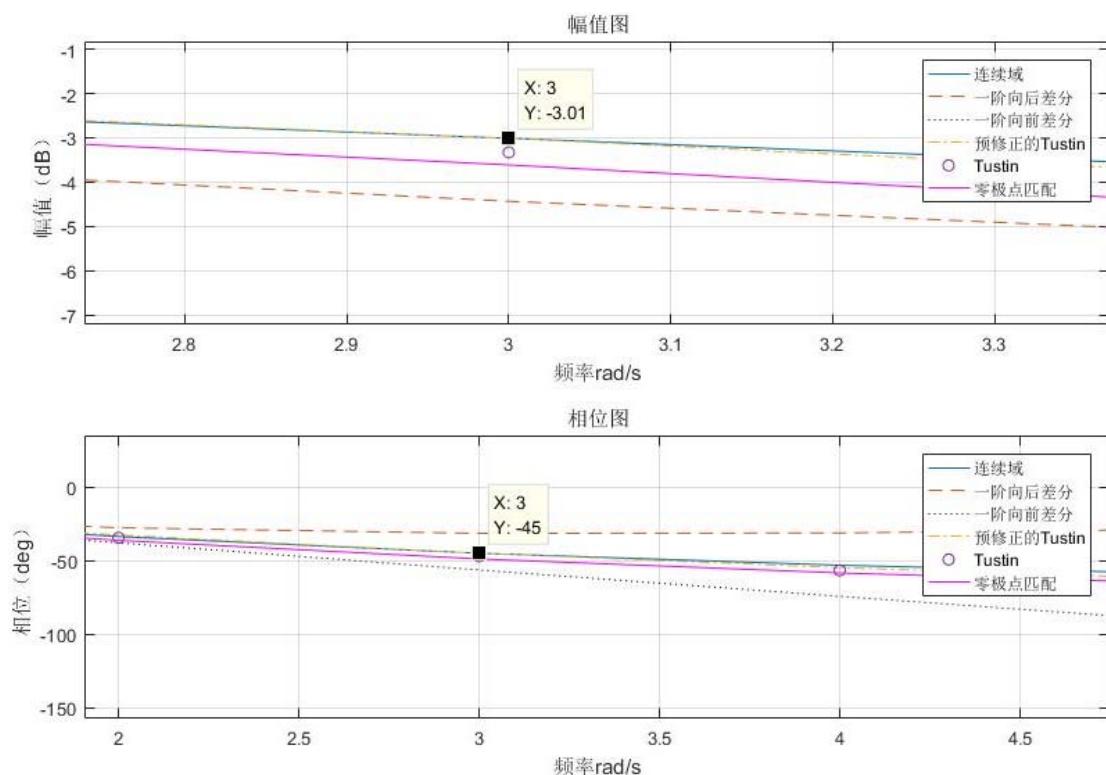


图 1.5 预修正的 Tustin 变换在频率等于  $3\text{rad/s}$  时的局部图

3. 从单位脉冲响应可以得出如下结论：

(1) 除了脉冲响应不变法，其他各种变换方法在第一个周期内都不能很好地拟合原曲线。

(2) 当采样时间较小时，各种变换方法得到的结果相似，都与连续系统响应接近。



(3) 当采样时间较大时, 脉冲响应不变法得到的结果完全体现为对连续响应的采样; 除第一个周期外, 其他的变换方法均略有失真, 一阶向前差分方法的失真最大, 一阶向后差分方法的失真较大。因此在实际工程实践中, 若采样周期较大应尽量避免使用一阶向前差分法, 一阶向后差分法。

## 6) 收获与感悟

经过这次大作业, 我深刻理解了不同离散方法的优缺点, 同时掌握了 MATLAB 的求离散传递函数和作图的方法, 收获颇丰。

## 7) 源代码

```
clear;clc;
T=0.3;
w=0:1:30;
num=3;
den=[1,3];
Gs=tf(num,den);
[m0,p0]=bode(num,den,w);

[n,d]=c2dm(num,den,T,'imp');
% n=[0.5934,0];
Dz=tf(n,d,T);
[m1,p1]=dbode(n,d,T,w);
% figure(1);
% zplane(n,d);
% title('z变换的零极点');

n2=[3*T,0];
d2=[1+3*T,-1];
Dzhou=tf(n2,d2,T);
[m2,p2]=dbode(n2,d2,T,w);
% figure(2);
% zplane(n2,d2);
% title('一阶向后差分变换的零极点');

n3=3*T;
d3=[1,3*T-1];
Dzqian=tf(n3,d3,T);
[m3,p3]=dbode(n3,d3,T,w);

T,w);
% figure(3);
% zplane(n3,d3);
% title('一阶向前差分变换的零极点');

a=1/tan(1.5*T);
n4=[1,1];
d4=[1+a,1-a];
Dzxiu=tf(n4,d4,T);
[m4,p4]=dbode(n4,d4,T,w);
% figure(4);
% zplane(n4,d4);
% title('预修正的Tustin变换的零极点');

[n5,d5]=c2dm(num,den,T,'tustin');
Dztus=tf(n5,d5,T);
[m5,p5]=dbode(n5,d5,T,w);
% figure(5);
% zplane(n5,d5);
% title('Tustin变换的零极点');

if T==0.05
    a=0.06965;
else if T==0.3
    a=0.2976;
end
n6=[a,a];
Dlingjidian=tf(n6,d,T);
[m6,p6]=dbode(n6,d,T,w);
% figure(6);
% zplane(n6,d);
% title('零极点匹配变换的零极点');

figure(7);
subplot(2,1,1);
plot(w,20*log10(m0),'-','w',20*log10(m2),'--','w',20*log10(m3),'k','w',20*log10(m4),'-','w',20*log10(m5),'o','w',20*log10(m6),'m'),title('幅值图'));
xlabel('频率 rad/s');ylabel('幅值 (dB)');grid on;
legend('连续域','一阶向后差分','一阶向前差分','预修正的Tustin','Tustin','零极点匹配');

subplot(2,1,2);
plot(w,p0,'-','w',p2,'--','w',p3,'k','w',p4,'-','w',p5,'o','w',p6,'m'),title('相位图'));
```

```

xlabel('频率',3);grid on;title('
rad/s');ylabel('相位
(deg) ');grid on;
legend('连续域','一阶
向后差分','一阶向前差分
','预修正的
Tustin','Tustin','零
极点匹配');

% figure(8);
% subplot(2,1,1);
%
plot(w,20*log10(m1))
,title('z变换幅值图');
% xlabel('频率
rad/s');ylabel('幅值
(dB) ');grid on;
% subplot(2,1,2);
%
plot(w,p1),title('z变
换相位图');
% xlabel('频率
rad/s');ylabel('相位
(deg) ');grid on;

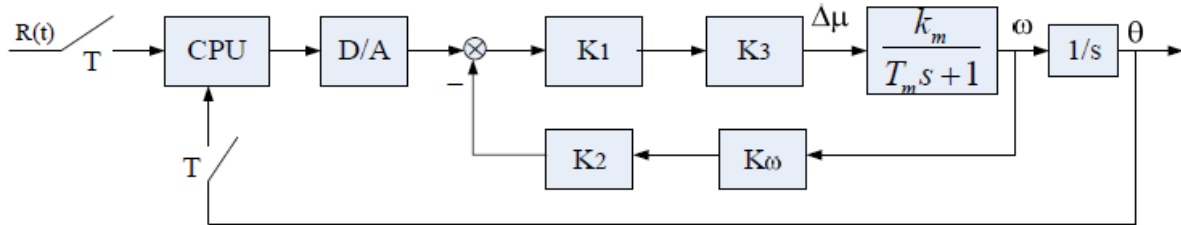
%这一部分对应阶跃响应
% figure(9);
% impulse(Gs,'r-
','Dzhou','g--
','Dzqian','k-.','Dzxiu
','c-.','Dztus','bo','Dl
ingjidian','m'...
% ,Dz,'b',3);grid
on;title('单位脉冲响
应,T=0.3s');
% legend('连续域','一
阶向后差分','一阶向前差
分','预修正的
Tustin','Tustin','零
极点匹配','z变换');

% figure(10);
%
impulse(Gs,'r',Dz,'b

```

## 综合习题二 计算机伺服控制系统设计

1. 已知：被控对象为一个带有均质圆盘负载的直流力矩电机，其伺服系统方框图如下：



其中，电机传递函数为角速率  $\omega / \Delta u$  和转角  $\theta / \Delta u$ ；模拟控制器由 K1、K2、K3 组成，数字控制器由采样、CPU（控制律）和 D / A 组成。

给定参数如下：

- 电机传递函数  $G(s) = \frac{\theta(s)}{u(s)} = \frac{k_m}{s(T_m s + 1)}$ ， $k_m = 2 \text{ rad/s}$ ， $T_m = 0.1 \text{ s}$
- 电机启动电压  $\Delta u_A = 1.7 \text{ v}$
- 测速机传递系数  $k_\omega = 1 \text{ v/rad/s}$
- 电位计最大转角为  $345^\circ$ ，输出  $\pm 5 \text{ v}$
- 功放  $K_A = 2 = K_3$
- 采样周期  $T = 0.010 \text{ s}$

### 2. 设计要求：

- D/A 输出  $120 \text{ mv}$ ，电机启动： $\Delta u_A = 1.7 \text{ v}$
- D/A 输出  $5 \text{ v}$ ，电机转速  $\omega = 26 \text{ rad/s}$
- 设计状态反馈增益 K，使系统闭环极点  $\zeta \geq 0.9$ ， $\omega_n \geq 20 \text{ rad/s}$
- 设  $\theta$  可测，设计降维观测器（求 L），取观测器衰减速率是系统闭环衰减速率的 4 倍。
- 求调节器的离散控制律  $D(z) = U(z) / Y(z)$ 。
- 将  $D(z)$  进行实现，配置适当的比例因子，编制相应的程序流程图。
- 仿真验证调节器的控制效果。假设系统受到扰动，初试状态为：初速  $\omega_0 = 0$ ，

初始角度  $\theta_0 = 10^\circ = 0.175 \text{ rad}$ 。看看是否经过一定时间后，系统状态回到平衡的零态。

- （选作）引进指令信号，设计相应的指令跟踪控制器，仿真给出闭环系统的阶跃响应曲线。

设计步骤如下：

### 1. 确定基本参数。

因为启动时  $\omega=0$ , D/A 输出为  $0.12V$ ,  $\delta u = 1.7V$ , 故  $K1 \cdot 2 = \frac{1.7V}{0.12V} = 14.17 \approx 15$ ,

解得  $K1=7.5$ 。

因为 D/A 输出  $5V$ , 电机可以稳定在  $\omega = 26\text{rad/s}$ 。由系统结构图得：

$G(j\omega') = \frac{30}{K_2 \cdot 30 + 0.1j\omega' + 1}$ , 这里的  $\omega'$  指输入信号的频率。因为输入与输出稳

定, 可以看做常值信号, 故  $\omega' = 0$ , 即  $G(j0) = \frac{30}{K_2 \cdot 30 + 1} = \frac{\omega}{U_{DA}} = \frac{26}{5}$ 。解得  $K_2 = 0.159$ 。

因此, D/A 环节到输出之间的传递函数为  $G(s) = \frac{300}{(s + 57.7)s}$ 。

### 2. 设计状态反馈

根据  $\zeta \geq 0.9$ ,  $\omega_n \geq 20\text{rad/s}$  的指标和二阶系统极点公式：

$s_{1,2} = -\zeta\omega_n \pm \omega_n\sqrt{\zeta^2 - 1}$  可求得期望极点为：  $s_{1,2} = -18 \pm j20\sqrt{0.19}$

Z 域上由  $z = e^{sT}$  可得  $z_{1,2} = 0.8321 \pm 0.0727j$

取  $x_1 = \theta, x_2 = \omega = \dot{\theta}$  配置状态矩阵：

$$A = \begin{pmatrix} 0 & 1 \\ 0 & -57.7 \end{pmatrix} \quad B = \begin{pmatrix} 0 \\ 300 \end{pmatrix} \quad C = (1 \quad 0)$$

由MATLAB指令  $[F, G, Cd, Dd] = \text{c2dm}(A, B, C, 0, T)$  得到

$$F = \begin{pmatrix} 1 & 0.0076 \\ 0 & 0.5616 \end{pmatrix} \quad G = \begin{pmatrix} 0.0125 \\ 2.2795 \end{pmatrix} \quad C = (1 \quad 0) \quad D = 0$$

取  $k = [k_1, k_2]$

由MATLAB指令：  $Pd = \exp(P \cdot T)$ ;  $k = \text{place}(F, G, Pd)$ ; 得到配置完的状态反馈

增益矩阵  $K = [1.4688 \quad -0.0531]$ , 状态方程如下：

$$x(k+1) = (F - GK)x(k) + Gu(k)$$

$$x(k+1) = \begin{pmatrix} 0.9817 & 0.0083 \\ -3.3480 & 0.6825 \end{pmatrix} x(k) + \begin{pmatrix} 0.0125 \\ 2.2795 \end{pmatrix} u(k)$$

### 3. 设计降维观测器

衰减速率是四倍, 则  $\sigma_2 = -18 \times 4 = -72$ , 期望极点  $z = e^{\sigma_2 T} = 0.4868$

$$F_{11}=1, F_{12}=0.0076, F_{21}=0, F_{22}=0.5616, G_1=0.0125, G_2=2.2795$$

$$\text{由 } F_{22} - LF_{12} = 0.5616 - 0.0076L = 0.4868 \quad \text{故 } L = 9.8421$$

$$\text{所以 } F_{21} - LF_{11} = -9.8421, \quad G_2 - LG_1 = 2.1565$$

$$\text{观测器方程为: } \hat{x}_2(k+1) = 0.4868\hat{x}_2(k) - 9.8421y(k) + 2.1565u(k) + 9.8421y(k+1)$$

$$Z \text{ 变换为: } \hat{x}_2(z) = \frac{1}{z-0.4868}(9.8421(z-1)Y(z) - 2.1565U(z))$$

4. 求调节器的离散控制律  $D(z)=U(z)/Y(z)$ 。

$$u(k) = -kx = -1.4688x_1 + 0.0531\hat{x}_2 = -1.4688y(k) + 0.0531\hat{x}_2(k)$$

$$Z \text{ 变换得: } U(z) = -1.4688Y(z) + 0.0531\hat{x}_2(z)$$

$$\text{与 3 中方程 } \hat{x}_2(z) = \frac{1}{z-0.4868}(9.8421(z-1)Y(z) - 2.1565U(z)) \text{ 联立:}$$

$$D(z) = \frac{z-0.4868}{z-0.4868-0.0531 \times 2.1565} \times \left( -1.4688 + \frac{0.0531 \times 9.8421(z-1)}{z-0.4868} \right)$$

$$\text{化简得: } D(z) = \frac{-0.9462z + 0.1924}{z - 0.5833} = -0.9462 \frac{z - 0.2033}{z - 0.6165}$$

5. 将  $D(z)$  进行实现，配置适当的比例因子，编制相应的程序流程图。

零极点法实现：

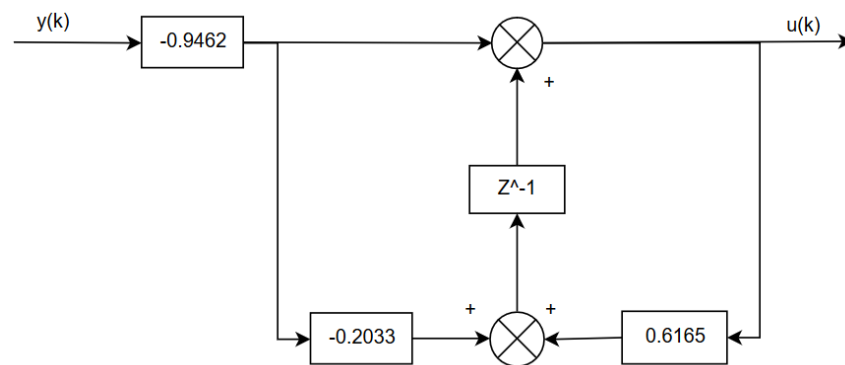


图 2.1 零极点法实现  $D(z)$

总的编排图如下：

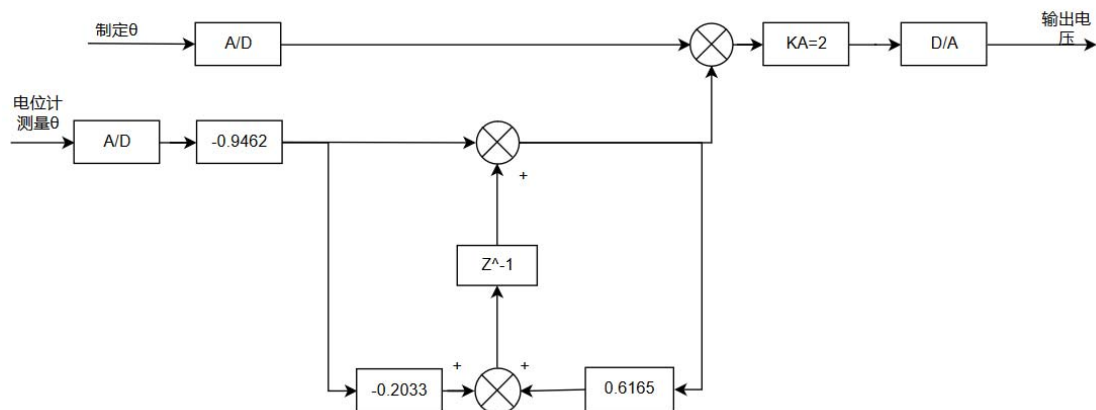


图 2.2 数字控制部分的结构图

选择比例因子:

- (1)  $D(z)|_{z \rightarrow -1} = -0.7043$ ,  $D(z)|_{z \rightarrow -1} = -1.9657$ , 配比例因子 2
- (2) 系数没有超过 1, 不用配。
- (3)  $\theta_{L\max} = 345^\circ / 2 = \pm 3 \text{ rad} \approx \pm 2.5 \text{ rad}$

$$\theta_R = \pm 2.5 \text{ rad}$$

$$A/D: \pm 5V \rightarrow \pm 2.5 \text{ rad} \rightarrow \pm 1$$

$$D/A: \pm 1 \rightarrow \pm 5V \rightarrow \pm 2.5 \text{ rad}$$

故 A/D, D/A 方面不需要配比例因子

配完以后的编排图:

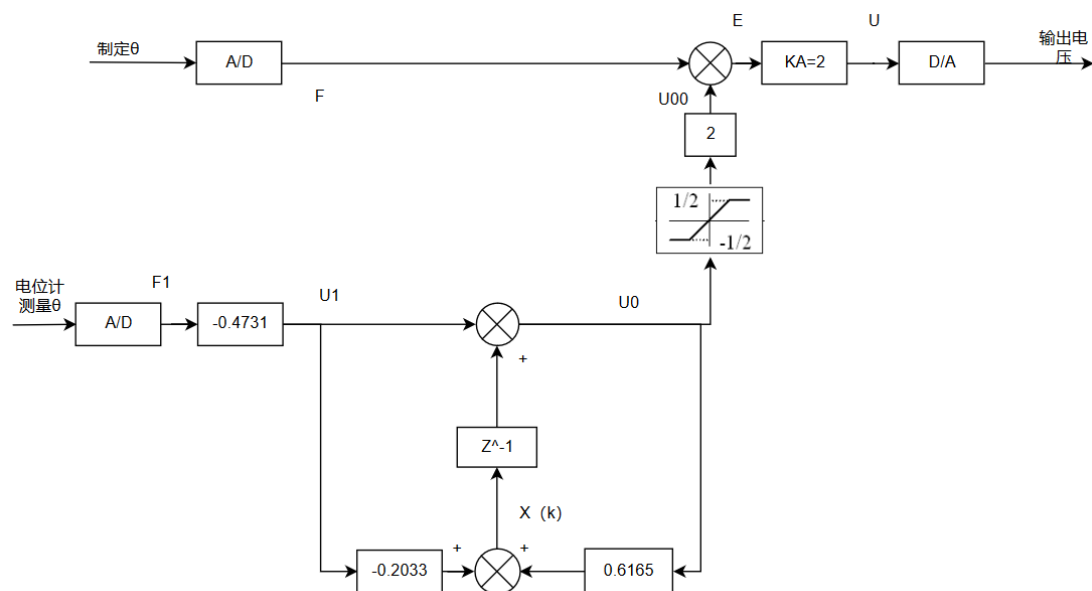


图 2.3 配置完比例因子的数字控制部分结构图

算法 1:  $U_0(k) = -0.4731 * F1(k) + X(k-1)$

$$U_{00}(k) = \begin{cases} 1 & U_0(k) > \frac{1}{2} \\ 2U_0(k) & |U_0(k)| < \frac{1}{2} \\ -1 & U_0(k) < -\frac{1}{2} \end{cases}$$

$$U(k) = F(k) + U_{00}(k)$$

$$\text{算法 2: } X(k) = 0.0961 \cdot F_1(k) + 0.6165 \cdot U_0(k)$$

流程图:

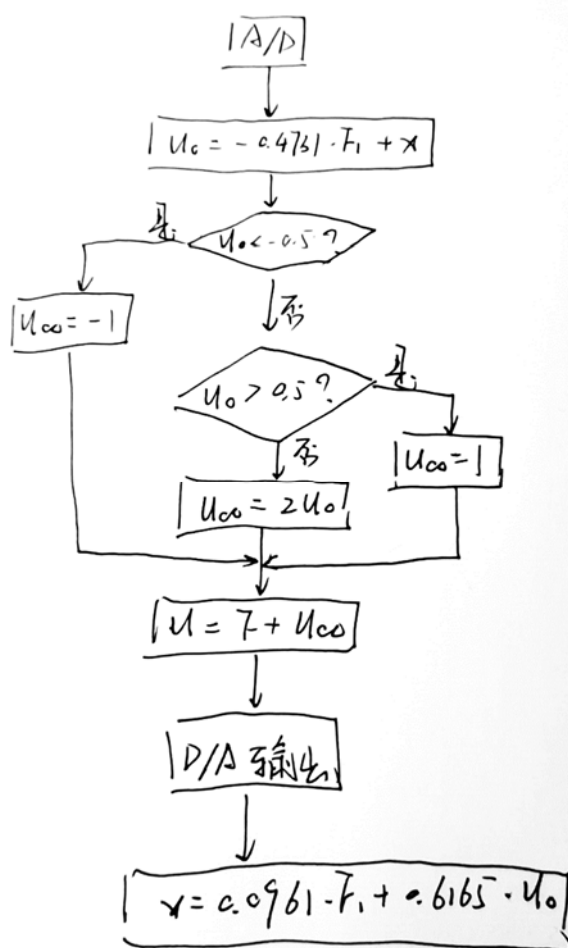


图 2.4 算法流程图

## 6. 仿真验证调节器的控制效果

初试状态为：初速  $\omega_0 = 0$ ，初始角度  $\theta_0 = 10^\circ = 0.175\text{rad}$

仿真结构图如下：

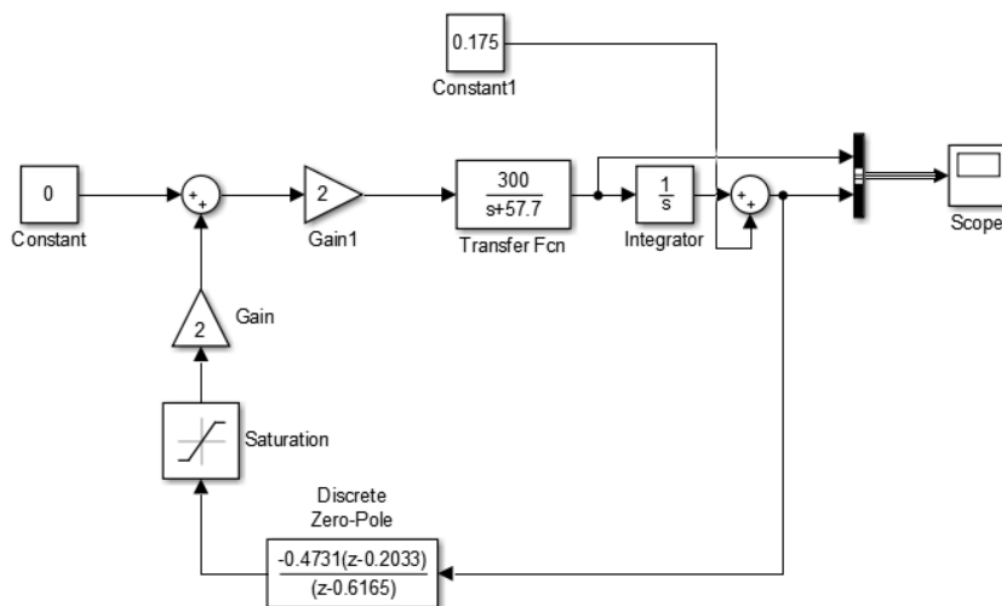


图 2.5 验证调节器效果 MATLAB 仿真结构图

仿真结果：

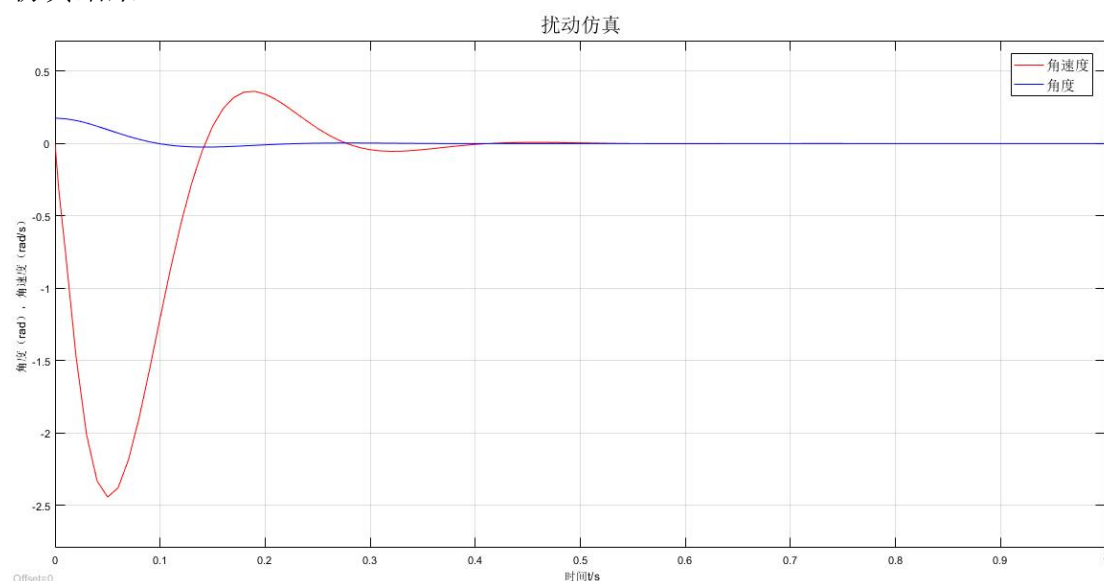


图 2.6 验证调节器效果，角度阶跃仿真图

由图可知，经过 0.2s 左右，受干扰系统即可以恢复零点。系统设计达到稳定要求。

7. 引进指令信号，设计相应的指令跟踪控制器，仿真给出闭环系统的阶跃响应曲线。

仿真结构图：



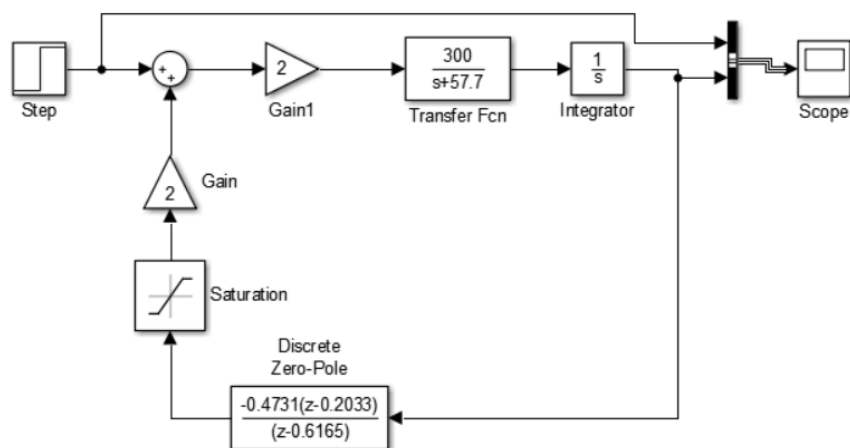


图 2.7 指令信号 MATLAB 仿真结构图

仿真结果：

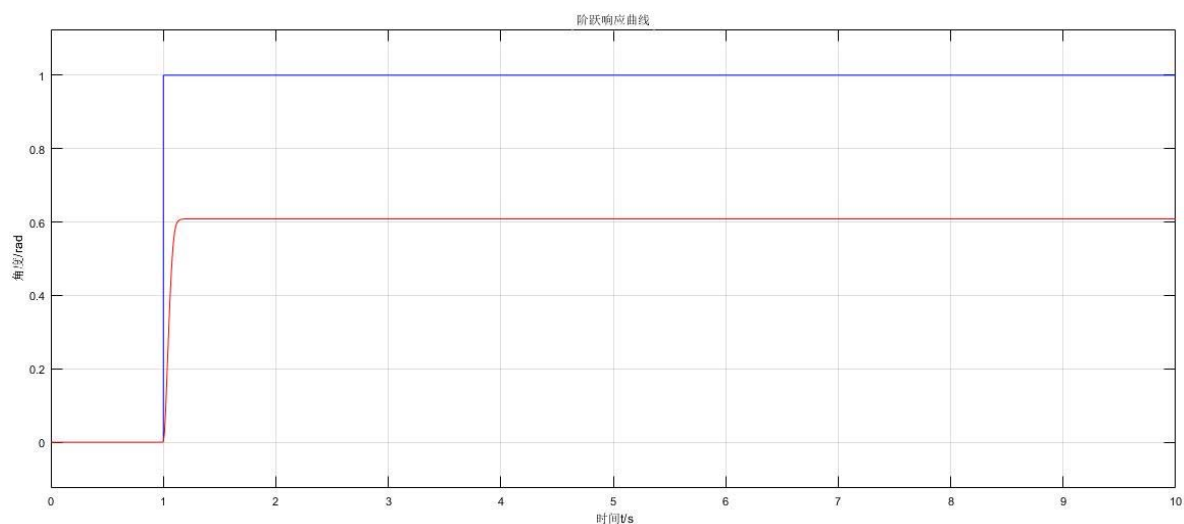


图 2.8 引进指令信号的角度阶跃仿真图

角速度：

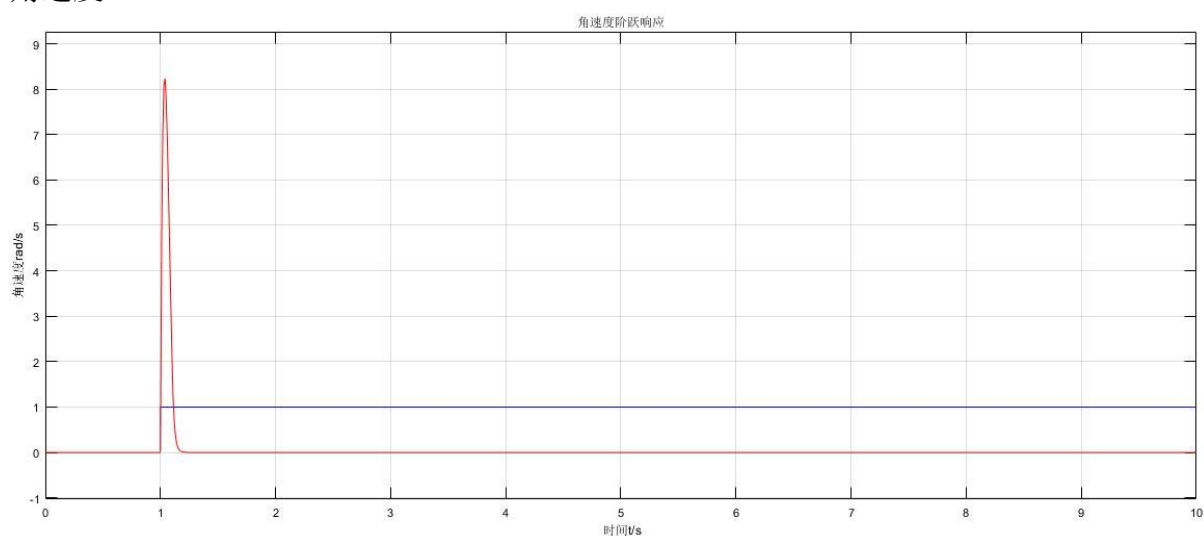


图 2.9 引进指令信号的角速度阶跃仿真图

分析仿真图，可以看到阶跃响应的调节时间约 0.2s，超调量为 0，但存在稳

态误差 0.4。稳态误差可能是由于配置 A/D 和 D/A 的系数和配置放大倍率时进行了近似而造成的。其中的原因仍需进一步探究。

MATLAB 代码：

```
clear;clc;
T=0.01;
syms s GG Gs;
A=[0 1;0 -57.7];
B=[0;300];
C=[1 0];
GG=C*inv(s*eye(2)-A)*B;
Gs=simplify(GG);

[F,G,Cd,Dd]=c2dm(A,B,C,0,T);
P=[-18+1j*20*sqrt(0.19),-18-1j*20*sqrt(0.19)];
Pd=exp(P*T);
z2=exp(-18*4*T);
k=place(F,G,Pd);

a=-1;
dz=-0.9462*(a-0.2033)/(a-0.6165)

syms z
Dz=(z-0.4868)/(z-0.4868-0.0531*2.1565)*(1.4688-
0.0531*9.8421*(z-1)/(z-0.4868));
Dz=simplify(Dz);
```